

เอกสารอ้างอิง

- งานชื่น คงเสรี. 2542. เทคนิคการทดสอบคุณภาพข้าว. กสิกร ; 72(5): 467-473.
- จาธุรัตน์ สันเต. 2550. ผลของกระบวนการแห่และกระบวนการออกของข้าวกล้อง (ขาวดอกมะลิ 105) ต่อปริมาณสารแคมมาอะมิโนบิวเทอริกเอซิดในข้าวกล้องงอก. วิทยานิพนธ์ปริญญามหาบัณฑิต. ภาควิชาเทคโนโลยีการอาหาร. บัณฑิตวิทยาลัย มหาวิทยาลัยขอนแก่น.
- ชาญ มงคล. 2536. ข้าว : ตำราเอกสารวิชาการ หน่วยศึกษานิเทศก์กรรมการผู้กัดคtru ฉบับที่ 63 ตอนที่ 31 วันที่ 17 เมษายน 2540.
- นฤบดี ศรีสังข์. 2550. การอบแห้งข้าวกล้องของด้วยวิธีฟลูอิไดซ์เบด แบบอาคารร้อน. วิทยานิพนธ์มหาบัณฑิตสาขาวิชาเทคโนโลยีการจัดการพลังงาน คณะพลังงานสิ่งแวดล้อมและวัสดุ มหาวิทยาลัยเทคโนโลยีพระจอมเกล้าธนบุรี.
- ประกาศกระทรวงพาณิชย์เรื่อง มาตรฐานสินค้าข้าว พ.ศ. 2540 ประกาศในราชกิจจานุเบกษา เล่ม 114.
- พัชรี ตั้งศรีภูมิ. 2550. GABA ในคัพกะข้าวและข้าวกล้องของอาหาร ปีที่ 37 ฉบับที่ 4 (2550); 291-296.
- วนุช ศรีเจษฎารักษ์. 2551. รายงานฉบับสมบูรณ์เรื่องการผลิตสารประกอบทางชีวภาพจากข้าวกล้องของอก. ภาควิชาเทคโนโลยีอาหาร คณะเทคโนโลยี มหาวิทยาลัยขอนแก่น.
- วนุช ศรีเจษฎารักษ์และเพพฤทธิ์ ปิติฤทธิ์. 2551. การศึกษาระบวนการผลิตข้าวกาบฯ การประเมินทางประสิทธิภาพสัมผัสข้าวหุงสุก และการเปลี่ยนแปลงปริมาณการระห่ำและการเก็บ สก. กรุงเทพมหานคร.
- วนุช ศรีเจษฎารักษ์. 2552. สารโภชนาการนำบดของข้าวสารและข้าวกล้องงอก เสนอต่อ สำนักงานคณะกรรมการวิจัยแห่งชาติ (ทุนอุดหนุนมหาวิทยาลัยขอนแก่น ปี 2552).
- สถาบันอาหาร องค์กรเครือข่ายกระทรวงอุดหนุน. 2549. ตลาดข้าวกล้องงอก (Germination brown rice: GBR) ในญี่ปุ่น. กรุงเทพ Biz week. 25 กันยายน - 1 ตุลาคม 2549: C7.
- สมชาติ ไสภรณ์ฤทธิ์. 2540. การอบแห้งเม็ดพืชและอาหารบางประเภท. พิมพ์ครั้งที่ 7. กรุงเทพฯ : มหาวิทยาลัยเทคโนโลยีพระจอมเกล้าธนบุรี.
- อนุชา ใจกล้า. 2549. เสื่อนไขที่เหมาะสมสำหรับการรักษาคุณภาพข้าวเปลือกที่อบแห้งโดยเทคนิคฟลูอิไดเซ็น. วิทยานิพนธ์มหาบัณฑิต สาขาวิชาเทคโนโลยีการจัดการพลังงาน คณะพลังงานสิ่งแวดล้อมและวัสดุ มหาวิทยาลัยเทคโนโลยีพระจอมเกล้าธนบุรี.
- อรอนงค์ น้ำวิภาดา. 2538. เครื่องทำข้าวผัด. กรุงเทพฯ : มหาวิทยาลัยเกษตรศาสตร์.
- อุสาห์ เจริญวัฒนา. 2526. ผลิตภัณฑ์ขัญพืช. ภาควิชาผลิตภัณฑ์เกษตร คณะเกษตรศาสตร์ มหาวิทยาลัยขอนแก่น
- เอกสงวน ชูวิสสูกุล. 2544. เทคโนโลยีการผลิตข้าวพันธุ์ดี. สถาบันวิจัยข้าว กรมวิชาการเกษตร.
- AOAC. 1995. Approved Methods of the American Association of Cereal Chemists. 9th ed. St. Paul, Minnesota.
- Aquerreta J, Iguaz A, Arroqui C, Vírseda P. 2007. Effect of high temperature intermittent drying and tempering on rough rice quality. J Food Eng. 80:611-618.

- Azrina A, Maznah I, Azizah AH. 2008. Extraction and Determination of Oryzanol in Rice Bran of Mixed Herbarium UKMB ; AZ 6807 : MR 185, AZ 6808:MR 211, AZ6809:MR 29. ASEAN Food Journal 15(1):89-96.
- Beal AD, Mottram DS. 1993. An evaluation of the aroma characteristics of malted barley by free-choice profiling. J Sci Food Agric. 61:17–22.
- Brand-Williams W, Cuvelier ME, Berset C. 1995. Use of a free radical method to evaluate antioxidant activity. Lebensmittel-Wissenschaft und Technologie. 26: 25-30.
- Brown AW, Shelp BJ. 1989. The metabolism and physiological roles of γ -aminobutyric acid. Biochem Life SCI Adv. 8:21-25.
- Brown AW, Shelp BJ. 1997. The metabolism and function of γ -aminobutyric acid. Plant Physiol. 115:1-5.
- Chen MH, Bergman CJ. 2005. A rapid procedure for analyzing rice bran tocopherol, tocotrienol and γ -oryzanol contents. J Food Compos Anal. 18 : 139-151.
- Chung H-J, Jang S-H, Cho HY, Lim S-T. 2009. Effect of steeping and anaerobic treatment on GABA (γ -aminobutyric acid) content in germinated waxy hull-less barley. J Food Sci Technol. 42:1712-1716.
- Crossen AG, Jimenez MJ, Siebenmorgen TJ. 2003. Rice fissuring response to high drying and tempering temperature. J Food Eng. 59:61-69.
- Dong R, Lu Z, Liu Z, Koide S, Cao W. 2010. Effect of drying and tempering on rice fissuring analysed by integrating intra-kernel moisture distribution. J Food Eng. 97:161-167.
- Elbert G, Tolaba MP, Suarez C. 2001. Effect of drying condition on head rice yield and browning index of parboiled rice. J Food Eng. 47:37-41.
- Heinio RL, Oksman-Caldentey KM, Latva-Kala K, Lehtinen P, Poutanen K. 2001. Effects of drying treatment conditions on sensory profile of germinated oat. Cereal Chem. 78 : 707–14.
- Hwang S-S, Cheng Y-C, Chang C, Lur H-S, Lin T-T. 2009. Magnetic resonance imaging and analyses of tempering process in rice kernels. J Cereal Sci. 50:36-42.
- Inprasit C, Noomhorm A. 2001. Effect of drying air temperature and grain temperature of different types of dryer and operation on rice quality. Drying technology. 19(2):389-404.
- Jaiboon P, Prachayawarakorn S, Devahastin S, Soponronnarit S. 2009. Effects of fluidized bed drying temperature and tempering time on quality of waxy rice. J Food Eng. 95:517-524.
- Jeon TI, Hwang S-G, Lim BO. Park DK. 2003. Extracts of Phellinus Linteus Grown on Germinated Brown Rice Suppress Liver Damage Induced by Carbon Tetrachloride in Rat. Biotechnol Letters. 25(24): 2093-2096.
- Juliano BO. 1993 . Rice in Human Nutrition. The Food and Agricultural Organization of the United Nations Rome. 162 pp

- Karppinen S, Liukkonen K, Aura, AM, Forssell P, Poutanen K. 2000. In vitro fermentation of polysaccharides of rye, wheat and oat brans and inulin by human faecal bacteria. *J. Sci Food Agric.* 80 : 1469–76.
- Kayahara H. 2001. Functional components of pre-germinated brown rice and their health promotion and disease prevention and improvement. *Weekly Agric Forest.* 1791:4-6.
- Kayahara H, Tsukahara K. 2000. Flavor Health and Nutritional Quality of Pre-germinated Brown Rice International Chemical Congress of Pacific Basin Societies in Hawaii.
- Komatsuzaki N, Tsukahara K, Toyoshima H, Suzuki T, Shimizu N, Kimura T. 2005. Effect of soaking and gaseous treatment on GABA content in germinated brown rice. *J Food Eng.* 78:556-560.
- Manna KM, Naing KM, Pe H. 1995. Amylase activity of some roots and sprouted cereals and beans. *Food Nutr.* 16 : 1-4.
- Moongngarm A, Saetung N. 2010. Comparison of chemical compositions and bioactive compounds of germinated rough rice and brown rice. *J Food Chem.* 122: 782-788.
- Ohtsubo K, Suzuki K, Yasui Y, Kasumi T. 2005. Bio-functional components in the processed pre-germinated brown rice by a twin-screw extruder. *J Food Compos Anal.* 18 : 303-316.
- Okada T, Sugishita T, Murakami T, Murai H, Saikusa T, Horino T. 2000. Effect of the Defatted Rice Germ Enriched with GABA for Sleeplessness, Depression, Autonomic Disorder by Oral Administration. *Nippon Shokuhin Kagaku Kaishi.* 47(8): 596-603.
- Patita R, Supalax S, Voranuch S. 2007. Extraction and analysis of free amino acid in germinated brown rice by reversed phase high performance liquid chromatography. International chemistry conference (SICC 5) and Asia- Pacific International Symposium on Microscale and Analysis (APCE) December 16th-19th, Suntec Singapore Convention&Exhibition Centre,Singapore.
- Re R, Pellegrini N, Proteggente A, Pannala A, Yang M, Evans CR. 1999. Antioxidant activity applying an improved ABTS radical cation decolorization assay. *Free Radical Biology & Medicine.* 9(10): 1231-1237.
- Reggiani R, Nebuloni M, Brambilla I. 1988. Accumulation and inter conversion of amino acids in rice roots under anoxia. *Plant Cell Physiol.* 29:981-987.
- Shelp BJ, Brown AW, Malean MD. 1999. Metabolism and function of γ -aminobutyric acid. *Trends Plant Sci.* 4:446-452.
- Singh N, Kaur L, Sodhi NS, Sekhon KS. 2005. Physicochemical, cooking and textural properties of milled rice from different Indian rice cultivars. *Food Chem.* 89(2): 253-259.
- Singh RK, Singh US, Khush GS. 2000. Aromatic Rices. India: Science Publishers Inc.
- Subba RMVSST, Muralikrishna G. 2002. Evaluation of the antioxidant properties of free and bound phenolic acids from native and malted finger millet. *J Agric Food Chem.* 50:889–92.

- Taweerattanapanich A, Soponronnarit S, Wetchacama S, Kongseri N, Wongpiyachon S. 1999. Effect of Drying on Head Rice Yield Using Fluidization Technique. *Drying technology*. 17:345-353.
- Wongpornchai S, Dumri K, Jongkaewwattana S, Siri B. 2004. Effect of drying methods and storage time on the aroma and milling quality of rice (*Oryza sativa L.*) cv. Khao Dawk Mali 105. *J Food Chem*. 87:407-14.
- Zhang L, Hu P, Tang S, Zhao H, Wu D. 2005. Comparative studies on major nutritional components of rice with a giant embryo and a normal embryo. *J Food Biochem*. 29:653-661.

ภาคผนวก

ภาคผนวก ก

วิธีวิเคราะห์คุณสมบัติทางกายภาพและทางเคมี

ภาคผนวก ก 1
การวิเคราะห์ความชื้น AOAC 1995 a-d
โดยใช้เตา Hot Air Oven Method

เครื่องมือและอุปกรณ์

- 1) เครื่องซั่งน้ำหนักอิเล็กทรอนิกส์
- 2) ตู้อบลมร้อน (Hot air oven)
- 3) ถ้วยทำความชื้น (Moisture Can)
- 4) โดอบแห้ง (Dessicator)

วิธีทดลอง

- 1) ปรับอุณหภูมิของตู้อบลมร้อนให้ได้ที่อุณหภูมิเท่ากับ 100°C
- 2) อบชุดถ้วยทำความชื้น (moisture can) ที่ล้างสะอาด ในตู้อบอุณหภูมิ 100°C นานประมาณ 15 ชั่วโมง
จากนั้นนำชุดถ้วยทำความชื้นออกจากตู้อบแล้วทิ้งให้เย็นในโถดูดความชื้น
- 3) ซั่งน้ำหนักของชุดถ้วยทำความชื้น บันทึกน้ำหนัก (A)
- 4) ซั่งตัวอย่างข้าว 3 กรัม ลงในชุดถ้วยทำความชื้น (B) เกลี่ยตัวอย่างให้สม่ำเสมอในถ้วยทำความชื้น
- 5) นำชุดทำความชื้นที่บรรจุน้ำหนักถ้วยและตัวอย่างใส่ในตู้อบที่อุณหภูมิ 100°C ทำการอบตัวอย่างจนน้ำหนักของตัวอย่างคงที่
- 6) นำตัวอย่างออกจากตู้อบ ทิ้งให้เย็นในโถดูดความชื้นประมาณ 30 นาที
- 7) ซั่งน้ำหนักของตัวอย่างแห้ง บันทึกน้ำหนักที่ซึ่งได้ (C)
- 8) นำตัวอย่างเข้าอบอีกครั้ง (นานประมาณ 30 นาที) นำออกมาทิ้งให้เย็นในโถดูดความชื้นและซั่งน้ำหนักตัวอย่าง ทำซ้ำจนตัวอย่างแห้งมีน้ำหนักคงที่ (± 0.002 กรัม)

$$\text{ความชื้นเป็นร้อยละ} = \frac{(\text{น้ำหนัก}(C) - \text{น้ำหนัก}(A))}{\text{น้ำหนักตัวอย่าง}(B)} \times 100$$

ภาคผนวก ก 2

วิธีวิเคราะห์ GABA

ดั้งเดิมวิธีการสกัดของ Ohtsubo and others (2005)

และดั้งเดิมวิธีวัดของ Patita and others (2007)

เครื่องมือและอุปกรณ์

- 1) Centrifuge tube ขนาด 50 มิลลิลิตร
- 2) เครื่อง Centrifuge
- 3) เครื่องเขย่าหลอด Vortex mixer
- 4) เครื่องอบแห้งสูญญากาศ (Vacuum oven)
- 5) volume pipette ขนาด 10 และ 20 มิลลิลิตร
- 6) micropipette ขนาด 10, 50, 100, 200, 1000
- 7) ขวดปรับปริมาตร (Volumetric flask) ขนาด 5 และ 50 มิลลิลิตร
- 8) Nylon membrane syringe filter ขนาด 0.2 ไมครอน
- 9) กระบอกน้ำยา ขนาด 5 มิลลิลิตร
- 10) Column HPLC : waters Symmetry C18 5 um ยาว 3.9 x 150 mm
- 11) Fluorescence Detector Jasco FP-920
- 12) Waters 485 Tunable Absorbance Detector
- 13) Waters 600 controller pump
- 14) Waters 717 plus Autosampler
- 15) Waters SAT/IN Module

สารเคมี

- 1) Methanol HPLC grade
- 2) Ethanol AR grade
- 3) Acetonitrile HPLC grade
- 4) Chloroform AR grade
- 5) สารละลายน้ำ Trifluoroacetic acid (TFA) ความเข้มข้น 0.05%
- 6) สารละลายน้ำ 0.1 M Di-sodium tetraborate buffer ปรับ pH 10 ด้วยสารละลายน้ำ 8 M Sodium hydroxide
- 7) สารละลายน้ำ 9-Fluorenylmethyl chloroformate (FOMC) ความเข้มข้น 1000 มิลลิกรัมต่อลิตร ในสารละลายน้ำ Acetonitril HPLC grade

8) กรดอะมิโนมาตรฐาน เช่น Histidine Arginine Glutamine Serine Glutamic acid Gaba Alanine Proline Valine และ Leucine

วิธีทดลอง

- 1) ชั่งตัวอย่างผงข้าวประมาณ 2.50 กรัม ลงในหลอดเซนติพิวจ์
- 2) เติม 70% ethanol 25 มิลลิลิตร
- 3) เขย่าตัวขึ้นเครื่อง vortex mixer นาน 30 นาที แล้วทำการปั่นเหวี่ยงที่ความเร็วรอบ 12,000g เป็นเวลา 15 นาที ที่อุณหภูมิ 4 °C
- 4) ถ่ายสารละลายส่วนในสลงในฟลาสก์ระเหย ส่วนกากระดอนในหลอดเซนติพิวจ์สักด้าวย 70% ethanol 25 มิลลิลิตร อีก 2 ครั้ง แล้วให้ถ่ายสารละลายส่วนในสลงในฟลาสก์ระเหบรวมกันกับครั้งแรกจะได้ปริมาณรวม 75 มิลลิลิตร
- 5) นำฟลาสก์ระเหยที่เก็บสารละลายส่วนในสมาทำการระเหยด้วยเครื่องอบแห้งสูญญากาศ (Vacuum oven) ที่อุณหภูมิ 70 °C จนแห้ง
- 6) ชะสารที่ต้องการออกจากฟลาสก์ระเหยด้วยน้ำกลั่นขั้ด ไออ่อนปริมาณ 10 มิลลิลิตร
- 7) นำไปปี degas เป็นเวลา 1 ชั่วโมง
- 8) ดูดสารละลายปริมาตร 1 มิลลิลิตร ลงในขวดปรับปริมาตรขนาด 5 มิลลิลิตรเดิมสารละลาย FOMC 1 มิลลิลิตร แล้วปรับปริมาตรให้ครบ 5 มิลลิลิตรด้วยสารละลาย sodium borate buffer เขย่าขวด ตั้งทิ้งไว้เป็นเวลา 15 นาที จากนั้นทำการกรองผ่าน syringe nylon membrane filter ขนาดรูผ่าน 0.2 ไมโครเมตร ลงในหลอดตัวอย่าง (vial) ของเครื่อง HPLC แล้วทำการฉีดเข้าเครื่อง HPLC เพื่อทำการวิเคราะห์หาชนิดและปริมาณกรดอะมิโนโดยเปรียบเทียบกับกราฟสารละลายมาตราฐานของกรดอะมิโนแต่ละชนิด

การเตรียมสารละลายผสมกรดอะมิโนและสร้างกราฟมาตราฐาน

- 1) เตรียมสารละลายนามาตรฐานกรดอะมิโนผสม 9 ชนิด คือ Histidine Arginine Glutamine Glutamic acid GABA Alanine Proline Valine และ Leucine ความเข้มข้น 2, 5, 10, 15, 20, 25 และ 30 มิลลิกรัมต่อลิตร
- 2) ดูดสารละลายน้ำข้อ 1. ปริมาตร 1 มิลลิลิตร ลงในขวดปรับปริมาตรขนาด 5 มิลลิลิตรเดิมสารละลาย FOMC 1 มิลลิลิตร แล้วปรับปริมาตรให้ครบ 5 มิลลิลิตรด้วยสารละลาย sodium borate buffer เขย่าขวด ตั้งทิ้งไว้เป็นเวลา 15 นาที จากนั้นทำการกรองผ่าน syringe nylon membrane filter ขนาดรูผ่าน 0.2 ไมโครเมตร ลงในหลอดตัวอย่าง (vial) ของเครื่อง HPLC แล้วทำการฉีดเข้าเครื่อง HPLC เพื่อทำการสร้างกราฟสารละลายนามาตรฐานกรดอะมิโนแต่ละชนิด ระหว่างความเข้มข้นของกรดอะมิโนแต่ละชนิดกับพื้นที่พิเศษของกรดอะมิโนนั้น

สภาวะในการวิเคราะห์ GABA

- 1) คอลัมน์ symmetry Reverse-phase C18 (5 μm ;3.9x 150 mm)
- 2) ควบคุมอุณหภูมิของคอลัมน์ 40 °C



- 3) ใช้ฟลูออเรเซนต์ดีเทกเตอร์ ความยาวคลื่นกระตุ้น (λ_{excited}) 270 นาโนเมตรและความยาวคลื่นกระจาก ($\lambda_{\text{emission}}$) 315 นาโนเมตร
- 4) ฉีดสารละลายในการวิเคราะห์ (inject sample) ปริมาณ 10 ไมโครลิตร
- 5) สภาวะในการวิเคราะห์มีการปรับเปลี่ยนปริมาณของสารตัวพาตลอดเวลา (Gradient elution) โดยใช้สารตัวพา 3 ชนิด อัตราการไหลของสารตัวพา 1 มิลลิลิตรต่อนาที ดังตารางที่ ก1
- 6) การวิเคราะห์มีการเปลี่ยนแปลงสารตัวพาเป็น 1 หมายถึง สัดส่วนการผสมกันของสารตัวพาทั้ง 3 ชนิดจะเปลี่ยนแปลงทันทีเพื่อให้ได้สัดส่วนของร้อยละของสารตัวพาตามระยะเวลาที่กำหนด

ตารางที่ ก1 สภาวะการตั้งเครื่อง HPLC สำหรับวิเคราะห์ GABA

ระยะเวลา(นาที)	อัตราการไหล (มิลลิลิตร)	TFA 0.05%	ACN 100%	MEOH 100%	การเปลี่ยนแปลงสารตัวพา
		(%)A	(%)B	(%)C	
0	1.0	65	35	0	
1.5	1.0	65	35	0	1
3	1.0	80	15	5	1
10	1.0	55	20	25	1
15	1.0	55	20	25	1
21	1.0	35	30	35	1
23	1.0	40	30	30	1
27	1.0	0	75	25	1
33	1.0	65	35	0	1

ภาคผนวก ก 3

วิธีวิเคราะห์อนุพันธ์ tocopherol และ γ -oryzanol

ดัดแปลงจาก Chen and Bergman (2005) และ Azrina and others (2008)

เครื่องมือและอุปกรณ์

- 1) Centrifuge tube ขนาด 50 มิลลิลิตร
- 2) เครื่อง Centrifuge
- 3) เครื่องเขย่าหลอด Vortex mixer
- 4) เครื่องระเหยสาร Rotary evaporator
- 5) volume pipette ขนาด 10 และ 20 มิลลิลิตร
- 6) micropipette ขนาด 10, 50, 100, 200, 1000
- 7) ขวดปรับปริมาตร (Volumetric flask) 50 มิลลิลิตร
- 8) Nylon membrane syringe filter ขนาด 0.2 ไมครอน
- 9) ระบบอัตโนมัติยา ขนาด 5 มิลลิลิตร
- 10) Column HPLC : waters Symmetry C18 5 μm ยาว 3.9 x 150 mm
- 11) Fluorescence Detector Jasco FP-920
- 12) Waters 485 Tunable Absorbance Detector
- 13) Waters 600 controller pump
- 14) Waters 717 plus Autosampler
- 15) Waters SAT/IN Module
- 16) เครื่องบดตัวอย่างละเอียดขนาด 80-100 mesh

สารเคมี

- 1) Methanol AR และ HPLC grade
- 2) Isopropanol HPLC grade
- 3) Acetonitrile HPLC grade
- 4) Acetic acid AR grade
- 5) สารมาตรฐาน tocopherol
- 6) สารมาตรฐาน δ -oryzanol

วิธีทดลอง

- 1) ชั่งตัวอย่างผงข้าวประมาณ 3.00 กรัม ลงในหลอดเชزنติฟิวจ์

- 2) เดินเมทานอลลงไป 30 มิลลิลิตร
- 3) เลว่าด้วยเครื่อง vortex mixer นาน 3 นาที แล้วปั่นเหวี่ยงที่ความเร็วรอบ 12,000g เป็นเวลา 15 นาที ที่ อุณหภูมิ 4°ช
- 4) ถ่ายสารละลายน้ำลงในฟลาสก์ระเหยส่วนกลางตะกอนในหลอดเซนติพิวจ์ให้เดินเมทานอลใหม่ เข้าอีก 1 ครั้ง 30 มิลลิลิตร ทำการปั่นเหวี่ยงที่ความเร็วรอบ 12,000g เป็นเวลา 15 นาที ที่ อุณหภูมิ 4°ช แล้วถ่ายสารละลายน้ำลงในฟลาสก์ระเหยรวมกันกับครั้งแรก
- 5) นำฟลาสก์ระเหยที่เก็บสารละลายน้ำส่วนนำมาทำการระเหยด้วยเครื่อง Rotary evaporator ที่ อุณหภูมิ 40°ช จนแห้ง
- 6) ชะสารที่ต้องการออกจากฟลาสก์ระเหยด้วยเมทานอล HPLC grade ปริมาณ 3 มิลลิลิตร
- 7) ทำการกรองสารละลายน้ำที่ชะได้ด้วย nylon membrane syringe filter ขนาด 0.2 ไมครอนลงในหลอด vial ของเครื่อง HPLC
- 8) ทำการวิเคราะห์หาปริมาณอนุพันธ์ tocopherol และ γ -oryzanol ที่สักดี้ด้วย HPLC

การเตรียมสารละลายน้ำมาตรฐานพสมและกราฟสารมาตรฐาน

- 1) เตรียมสารละลายน้ำมาตรฐานพสมของ α -tocopherol, γ -tocopherol, δ -tocopherol และ γ -oryzanol ด้วย เมทานอล HPLC grade โดยให้ α -tocopherol มีความเข้มข้นในช่วง 0.5–6.0 ไมโครกรัมต่อมิลลิลิตร γ -tocopherol และ δ -tocopherol มีความเข้มข้นในช่วง 0.2–1.6 ไมโครกรัมต่อมิลลิลิตรและ γ -oryzanol มีความเข้มข้นในช่วง 0.02–0.5 มิลลิกรัมต่อมิลลิลิตร
- 2) ทำการกรองสารละลายน้ำมาตรฐานพสมด้วย Nylon membrane syringe filter ขนาด 0.2 ไมครอนลงในหลอด vial ของเครื่อง HPLC

สภาวะการวิเคราะห์ด้วย เครื่อง HPLC

Stationary phase : waters Symmetry C18 5 μm ยาว 3.9 x 150 mm

Fluorescence Detector for Tocopherol : excitation wavelength 298 nm.

emission wavelength 328 nm.

UV Detector for γ -oryzanol : UV wavelength 325 nm.

Mobile phase : gradient Condition

Frow rate : 0.8 ml/min

Time(min)	%Acetonitrile	%Methanol	%Isopropanol	%Acetic acid (1%)
6	45	45	5	5
16	25	70	5	0
28	25	70	5	0
29	45	45	5	5
40	45	45	5	5

ภาคผนวก ก 4

วิธีวิเคราะห์กิจกรรมสารต้านออกซิเดชัน

1. การวิเคราะห์กิจกรรมสารต้านออกซิเดชันด้วยวิธี DPPH (2,2-Diphenyl-1-picrylhydrazyl radical scavenging capacity assay) ตามวิธีการของ Brand-Williams and others (1995)

เครื่องมือและอุปกรณ์

- 1) เครื่องชั่ง 4 ตำแหน่ง
- 2) เครื่องปั่นเหวี่ยงชนิดควบคุมอุณหภูมิ (refrigerate centrifuge)
- 3) เครื่อง UV/Visible-Spectrophotometer
- 4) หลอดทดลอง
- 5) ปีเปตขนาด 2, 5 และ 20 มิลลิลิตร

สารเคมี

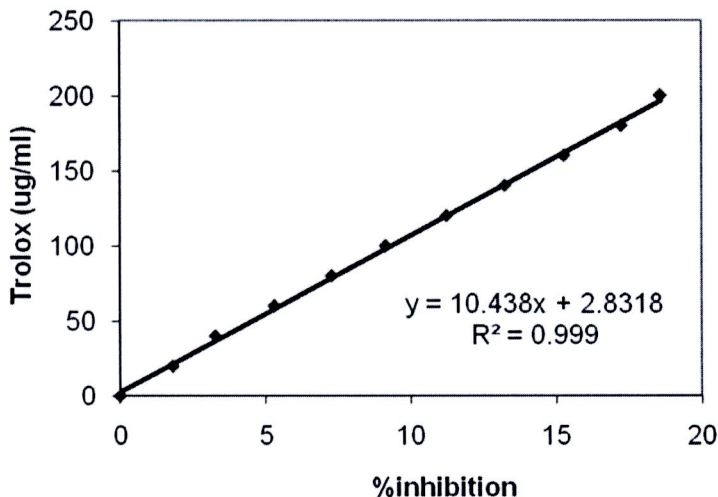
- 1) สารละลายน้ำ DPPH เข้มข้น 100 ไมโครโมลาร์
- 2) สารละลายน้ำ Trolox เข้มข้นตั้งแต่ 0 ถึง 1000 ไมโครโมลาร์
- 3) Methanol AR grade

วิธีทดลอง

- 1) ชั่งตัวอย่างผงข้าวประมาณ 3.00 กรัม ลงในหลอดเชزنติพิวช์
- 2) เติมเมทานอล 20 มิลลิลิตร
- 3) เขย่าด้วยเครื่อง shaker นาน 4 ชั่วโมง ที่อุณหภูมิห้อง(ประมาณ 30 องศาเซลเซียส)
- 4) ปั่นเหวี่ยงสารละลายน้ำขึ้น 3 ครั้งความเร็วรอบ 12,000g เป็นเวลา 15 นาที ที่อุณหภูมิ 4°C
- 5) ปีเปตสารละลายน้ำใส 100 ไมโครลิตรใส่ในหลอดทดลอง เติมสารละลายน้ำ DPPH 3 มิลลิลิตร ผสมให้เข้ากัน ทิ้งในที่มืด 30 นาที
- 6) วัดค่าดูดกลืนแสงที่ความยาวคลื่น 515 นาโนเมตร
- 7) วัดค่าการดูดกลืนแสงควบคุม (blank) โดยทำตามข้อ 5 แต่ใช้เมทานอลแทนสารละลายน้ำ
- 8) คำนวนค่าที่ได้เป็นเปอร์เซ็นต์ของการยับยั้งอนุមูลอิสระ(%inhibition)

$$\% \text{Inhibition} = \frac{100 \times (\text{OD}_{\text{blank}} - \text{OD}_{\text{sample}})}{\text{OD}_{\text{blank}}}$$

เปรียบเทียบประสิทธิภาพการต้านอนุมูล DPPH[•] กับ Trolox โดยการสร้างกราฟมาตราฐานระหว่างความเข้มข้นของ Trolox กับเปอร์เซ็นต์การยับยั้งอนุมูลอิสระ (%inhibition) ใช้ความเข้มข้นของสารละลายนามาตราฐาน Trolox ตั้งแต่ 0-200 ไมโครกรัมต่อมิลลิลิตร (ภาพที่ ก1)



ภาพที่ ก1 กราฟมาตราฐานระหว่างปริมาณความเข้มข้นของ Trolox และเปอร์เซ็นต์การยับยั้งอนุมูลอิสระ (%inhibition) เทียบกับตัวอย่างควบคุมที่ความยาวคลื่น 515 นาโนเมตร

2. การวิเคราะห์กิจกรรมสารต้านออกซิเดชันด้วยวิธี ABTS ตามวิธีของ Re and others (1999)

เครื่องมือและอุปกรณ์

- 1) เครื่องชั่ง 4 ตำแหน่ง
- 2) เครื่องปั่นเหวี่ยงชนิดควบคุมอุณหภูมิ (refrigerate centrifuge)
- 3) เครื่อง UV/Visible-Spectrophotometer
- 4) หลอดทดลอง
- 5) ปีเป็ตขนาด 2 และ 5 มิลลิลิตร
- 6) ขวดปรับปริมาตรขนาด 25 มิลลิลิตร

สารเคมี

- 1) สาร ABTS
- 2) Potassium persulfate($K_2S_2O_8$)
- 3) สารละลายนามาตรฐาน Trolox เข้มข้นตั้งแต่ 0 ถึง 1000 ไมโครโมลาร์
- 4) Methanol AR grade

เตรียมสารละลายน้ำ ABTS

ชั่ง ABTS 0.096 g ละลายน้ำกลิ้น ถ่ายใส่ขวดปรับปริมาตร 25 มิลลิลิตร ปรับปริมาตรด้วยน้ำกลิ้น เตรียมสารละลายน้ำ K₂S₂O₈

ชั่ง K₂S₂O₈ 0.0166 g ละลายน้ำกลิ้น ถ่ายใส่ขวดปรับปริมาตร 25 มิลลิลิตร ปรับปริมาตรด้วยน้ำกลิ้น การเตรียมสารละลายน้ำ ABTS[•] reagent

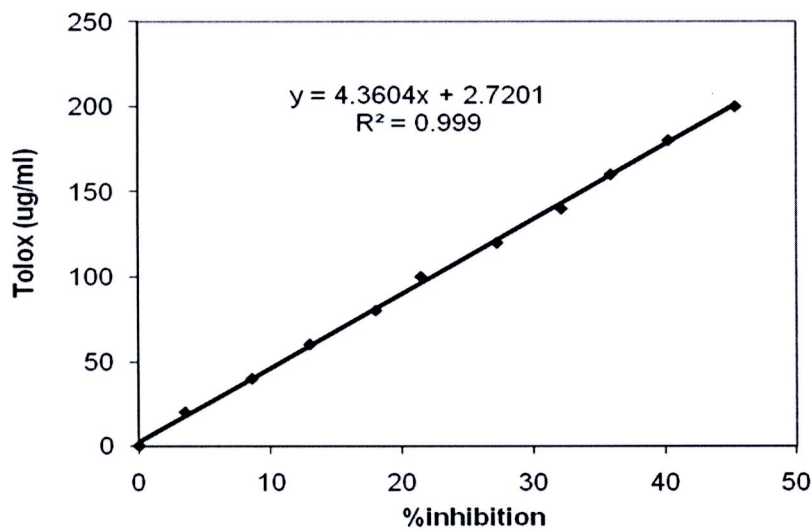
ผสมสารละลายน้ำ ABTS 20 มิลลิลิตร กับสารละลายน้ำ K₂S₂O₈ 10 มิลลิลิตร ในขวดสีชา ผสมให้เข้ากัน ตั้งทิ้งไว้ที่อุณหภูมิห้องเป็นเวลา 12-16 ชั่วโมง เมื่อครบเวลานำสารละลายน้ำ ABTS[•] reagent มาเจือจาง แล้วนำมารวบค่าการดูดกลืนแสงที่ความยาวคลื่น 734 นาโนเมตร ให้ได้ค่าเท่ากับ 0.70±0.05

วิธีทดลอง

- 1) ชั่งตัวอย่างพงข้าวประมาณ 3.00 กรัม ลงในหลอดเชزنติฟิวจ์
- 2) เติมเมทานอล 20 มิลลิลิตร
- 3) เขย่าด้วยเครื่อง shaker นาน 4 ชั่วโมง ที่อุณหภูมิห้อง(ประมาณ 30 องศาเซลเซียส)
- 4) ปั่นเหลวของสารละลายข้อ 3 ด้วยความเร็วรอบ 12,000g เป็นเวลา 15 นาที ที่อุณหภูมิ 4°c
- 5) ปีเปตสารละลายน้ำ ใส 50 ไมโครลิตรใส่ในหลอดทดลอง เติมสารละลายน้ำ ABTS[•] reagent 3 มิลลิลิตร ผสมให้เข้ากัน ทิ้งในที่มีด 30 นาที
- 6) วัดค่าดูดกลืนแสงที่ความยาวคลื่น 734 นาโนเมตร
- 7) วัดค่าการดูดกลืนแสงควบคุม(blank) โดยทำตามข้อ 5 แต่ใช้มีทานอลแทนสารละลายตัวอย่าง
- 8) คำนวณค่าที่ได้เป็นเปอร์เซ็นต์ของการบังยั้งอนุមูลิสระ (%inhibition)

$$\% \text{Inhibition} = \frac{100 \times (\text{OD}_{\text{blank}} - \text{OD}_{\text{sample}})}{\text{OD}_{\text{blank}}}$$

เปรียบเทียบประสิทธิภาพการต้านอนุมูล ABTS[•] กับ Trolox โดยการสร้างกราฟมาตราฐานระหว่างความเข้มข้นของ Trolox กับเปอร์เซ็นต์การบังยั้งอนุมูลอิสระ(%inhibition) ใช้ความเข้มข้นของสารละลายน้ำ Trolox ตั้งแต่ 0-200 ไมโครกรัมต่อมิลลิลิตร (ภาพที่ ก2)



ภาพที่ ก2 กราฟมาตรฐานระหว่างปริมาณความเข้มข้นของ Trolox และเปอร์เซ็นต์การยับยั้งอนุมูลอิสระ (%inhibition) เพียบกับตัวอย่างควบคุมที่ความยาวคลื่น 734 นาโนเมตร

ภาคผนวก ก 5

วิธีวิเคราะห์ร้อยละต้นข้าว

ตามวิธีการที่คัดแปลงจาก Aquerreta and others (2007)

เครื่องมือและอุปกรณ์

- 1) เครื่องซั่ง 4 ตำแหน่ง
- 2) บีกเกอร์ขนาด 50 มิลลิลิตร
- 3) ตาดอสูมิเนียม

วิธีทดลอง

- 1) ซั่งตัวอย่างข้าว 20 g (A)
- 2) คัดข้าวที่มีคงความขาวของเมล็ด $\frac{1}{4}$ ส่วน ด้วยสายตา
- 3) ซั่งน้ำหนักข้าวที่คัดได้ (B) คิดเป็นร้อยละต้นข้าว

$$\text{ร้อยละต้นข้าว} = \frac{\text{น้ำหนักข้าว (B)} \times 100}{\text{น้ำหนักข้าว (A)}}$$

ภาคผนวก ก 6
วิธีวิเคราะห์ค่าความขาว
ตามวิธีการที่คัดแปลงจาก Jaiboon and others (2009)

เครื่องมือและอุปกรณ์

1) เครื่องวัดสี UltraScan

วิธีทดลอง

1) วัดโดยใช้ตัวอย่างข้าวใส่ลงใน cuvette ขนาดใหญ่ โดยมีสภาวะการวัดดังต่อไปนี้

แหล่งกำเนิดแสง	:	D65
มุมมอง	:	10°
ชนิดการวัด	:	แสงสะท้อนกลับ (reflectance)
ระบบค่าสี	:	Hunter L a b
โดยกำหนดให้	L เป็นค่าความสว่าง (lightness) มีค่าอยู่ระหว่าง 0-100 a แสดงค่าความเป็นสีแดง/สีเขียว b แสดงค่าความเป็นสีเหลือง/สีน้ำเงิน	

คำนวณค่าความขาว (whiteness, WI) จากสมการ

$$WI = 100 - [(100-L^2) + a^2 + b^2]^{0.5}$$

ภาคผนวก ก 7
การวัดระยะเวลาในการหุงสุก (Cooking time)
 ตามวิธีของ Singh and others (2005)

เครื่องมือและอุปกรณ์

- 1) อ่างน้ำควบคุมอุณหภูมิ
- 2) หลอดทดลองขนาด 16×150 มิลลิเมตร
- 3) กระженนาพิกา
- 4) นาฬิกาจับเวลา
- 5) ปีเปตขนาด 20 มิลลิเมตร

วิธีทดลอง

- 1) ชั้งตัวอย่างข้าว (เต็มเมล็ด) จำนวน 2 กรัมลงในหลอดทดลอง
- 2) เติมน้ำกลั่นบริマーต 20 มิลลิเมตร
- 3) นำหลอดทดลองต้มในอ่างน้ำเดือด
- 4) ใช้ตะแกรงตักข้าวขึ้นจากน้ำเดือดครั้งละ 2-3 เมล็ดวางบนกระженนาพิกา แล้วใช้กระженนาพิกาอีกแผ่นกดเมล็ดข้าวให้แน่น ทำทุกๆ 1 นาที (หรือช่วง 30 วินาที) จนกว่าข้าวประมาณร้อยละ 80 สุกใส่ไม่มีไก่บุ่นขาวเหลืออยู่เลย ระยะเวลาในการทำให้ข้าวสุก คือระยะเวลาที่หุงข้าวให้สุก

ภาคผนวก ก 8
อัตราส่วนการอุ้มน้ำของข้าวสูก (Water uptake ratio)
 ตามวิธีของ Singh and others (2005)

เครื่องมือและอุปกรณ์

- 1) อ่างน้ำควบคุมอุณหภูมิ
- 2) บีกเกอร์ขนาด 100 มิลลิลิตร
- 3) ปีเปดขนาด 20 มิลลิลิตร
- 4) กระดาษกรอง
- 5) นาฬิกาจับเวลา



วิธีทดลอง

- 1) ชั่งตัวอย่างข้าว(เต็มเม็ด) จำนวน 2 กรัมลงในบีกเกอร์
- 2) เติมน้ำกลั่นบริมาตรฐาน 20 มิลลิลิตร
- 3) ต้มข้าวในอ่างน้ำเดือดตามระยะเวลาในการหุงสูก (ผลที่ได้จากภาคผนวก ก 7)
- 4) เอาน้ำที่เหลือจากการต้มสูกของข้าวโดยกรองผ่านกระดาษกรองและชั่งน้ำหนักของน้ำที่เหลือ
- 5) คำนวณอัตราการอุ้มน้ำของข้าวสูก ดังนี้

$$\text{อัตราส่วนการอุ้มน้ำของข้าวสูก} = \frac{\text{น้ำหนักข้าวหลังต้มสูก} - \text{น้ำหนักข้าวก่อนต้มสูก}}{\text{น้ำหนักข้าวก่อนต้มสูก}}$$

ภาคผนวก ก 9

อัตราการขยายปริมาตรของเมล็ดข้าว (Volume expansion)

ตามวิธีของ งานชื่น คงเสรี (2542)

เครื่องมือและอุปกรณ์

- 1) อ่างน้ำควบคุมอุณหภูมิ
- 2) หลอดทดลองขนาด 16×150 มิลลิลิตร
- 3) นาฬิกาจับเวลา
- 4) ปีเปตขนาด 20 มิลลิลิตร

วิธีทดลอง

- 1) ใส่ตัวอย่างข้าว (เมล็ดเดิม) ลงในหลอดทดลองโดยวัดความสูง 5 เซนติเมตร
- 2) เติมน้ำกลั่นปริมาตร 25 มิลลิลิตร นำลงต้มในอ่างน้ำเดือดที่ระยะเวลาของข้าวที่หุงสุก
- 3) วัดส่วนสูงของข้าวที่ขยายตัวขึ้น เปรียบเทียบอัตราการขยายปริมาตร

$$\text{อัตราการขยายปริมาตร} = \frac{\text{ความสูงเฉลี่ย(ปริมาตรเฉลี่ย)ข้าวหุงสุก}}{\text{ความสูงเฉลี่ย(ปริมาตรเฉลี่ย)ข้าวก่อนหุง}}$$

ภาคผนวก ก 10

ปริมาณร้อยละของแข็งที่สูญเสียระหว่างการหุงสุก (Gruel solid loss)

ตามวิธีของ Singh and others (2005)

เครื่องมือและอุปกรณ์

- 1) อ่างน้ำควบคุมอุณหภูมิ
- 2) หลอดทดลองขนาด 16×150 มิลลิลิตร
- 3) บีกเกอร์ขนาด 50 และ 100 มิลลิลิตร
- 4) นาฬิกาจับเวลา
- 5) ปีเปดขนาด 20 มิลลิลิตร

วิธีทดลอง

- 1) ชั่งตัวอย่างข้าว (เต้มเมล็ด) จำนวน 2 กรัมลงในหลอดทดลอง
- 2) เติมน้ำกลั่นปริมาตร 20 มิลลิลิตร ต้มในอ่างน้ำเดือคนานตามระยะเวลาหุงสุก
- 3) เทข้าวต้มสุกแล้วใส่ในบีกเกอร์ปริมาตร 50 มิลลิลิตร ล้างด้วยน้ำกลั่นพร้อมปรับปริมาตรให้ได้ 50 มิลลิลิตร
- 4) ระเหยน้ำออกจากข้าวโดยไปบนแห้งด้วยตู้อบลมร้อน อุณหภูมิ 110°C จนแห้ง
- 5) คำนวณร้อยละของแข็งที่สูญเสียระหว่างการหุงสุก

$$\text{ร้อยละของแข็งที่สูญเสียระหว่างการหุงสุก} = \frac{\text{น้ำหนักของแข็งที่ได้หลังการอบ}}{\text{น้ำหนักข้าวก่อนหุง}} \times 100$$

ภาคผนวก ก 11

อัตราภัยดัดตัวของเมล็ดข้าว(elongation ratio)

ตามวิธีของ งามชื่น คงเสรี (2542)

เครื่องมือและอุปกรณ์

- 1) เครื่องให้ความร้อน (Hot plate)
- 2) บีกเกอร์ขนาด 250 มิลลิลิตร
- 3) ajanplastik
- 4) ไม้บรรทัดวัดละเอียด (Vernier caliper)

วิธีทดลอง

- 1) สูบข้าวเที่มเมล็ด วัดความยาวจำนวน 10 เมล็ด คำนวณเป็นค่าเฉลี่ยต่อเมล็ด
- 2) นำข้าว 10 เมล็ดใส่ตະแกรงแห้งในน้ำเย็น 30 นาที
- 3) ต้มในน้ำเดือด 10 นาที แล้วยกตະแกรงออกจากน้ำเดือด จุ่มในน้ำเย็น เทข้าวลงในajanplastikที่มีฝาปิด
- 4) เลือกเมล็ดที่มีลักษณะตรง 10 เมล็ดวัดความยาว แล้วคำนวณอัตราภัยดัดตัวของเมล็ดข้าวสูงจากสมการ

$$\text{อัตราภัยดัดตัวของเมล็ดข้าวสูง} = \frac{\text{ความยาวเฉลี่ยของข้าวสูง}}{\text{ความยาวเฉลี่ยของข้าวก่อนหุง}}$$

ภาคผนวก ก 12
การวัดเนื้อสัมผัสของข้าวสุก
ตามวิธีที่คัดแปลงจาก Perdon and others (1999)

เครื่องมือและอุปกรณ์

- 1) เครื่องวัดลักษณะเนื้อสัมผัส (Texture Analyzer) TA-XT2

วิธีทดลอง

- 1) การวัดเนื้อสัมผัสของข้าวสุกด้วยเครื่อง texture analyzer ด้วยวิธี back extrusion โดยบรรจุข้าวสุกจำนวน 15 กรัม (อุณหภูมิเท่ากับอุณหภูมิห้อง) ลงใน test cell รูปทรงกระบอกขนาดเส้นผ่านศูนย์กลาง 6 เซนติเมตร
- 2) อัดข้าวสุกด้วยหัวพลาสติกขนาดหนัก 150 กรัม นาน 30 วินาที
- 3) ใช้หัววัดรูปทรงกลมเส้นผ่านศูนย์กลาง 35 มิลลิเมตร
- 4) กำหนดสภาพของเครื่องในการวัด ดังนี้

Pre-test speed	เท่ากับ	1.0	มิลลิเมตรต่อวินาที
Test speed	เท่ากับ	10.0	มิลลิเมตรต่อวินาที
Post-test speed	เท่ากับ	10.0	มิลลิเมตรต่อวินาที

 ระบบทางที่หัวเคลื่อนที่ลงในเนื้อข้าวสุกร้อยละ 75 จากผิวน้ำของตัวอย่าง
- 5) บันทึกค่าแรงสูงสุดที่กคลงบนข้าวสุกอ่อนໄไดเป็นนิวตันหาค่าเฉลี่ย

ภาคผนวก ฯ
การวิเคราะห์ข้อมูลทางสถิติ

ตารางที่ ข1 ผลการวิเคราะห์ความแปรปรวนความชื้น สารออกฤทธิ์ทางชีวภาพและคุณภาพข้าวของข้าวกล้อง และข้าวกล้องงอกควบคุม

Source	Dependent Variable	Type III Sum of Squares	df	Mean Square	F	Sig.
treatment	ความชื้น	5.230	1	5.230	101.469	.010*
	gaba	41.339	1	41.339	5.209E3	.000*
	deltatocopherol	8.744	1	8.744	21.103	.044*
	gammatocopherol	6130.725	1	6130.725	152.110	.007*
	alphatocopherol	5577.833	1	5577.833	.385	.598
	gammaoryzonol	5571632.145	1	5571632.145	1.612	.332
	DDPH (TEAC)	92.922	1	92.922	8.549	.100
	ABTS (TEAC)	1480.403	1	1480.403	20.373	.046*
	ร้อยละต้นข้าว	898.492	1	898.492	3.209E3	.000*
	ค่าความขาว	4.660	1	4.660	8.466	.101

* แสดงความแตกต่างอย่างมีนัยสำคัญทางสถิติ ($p \leq 0.05$)

ตารางที่ ข2 ผลการวิเคราะห์ความแปรปรวนความชื้นของข้าวกล้องงอก ที่ผ่านการอบแห้งแบบดาดอุณหภูมิ 40, 50 และ 60 °C เป็นเวลา 10, 12 และ 14 ชั่วโมง

Source	Type III Sum of Squares	df	Mean Square	F	Sig.
temp	44.835	2	22.418	909.398	.000*
time	1.284	2	.642	26.038	.000*
temp * time	.259	4	.065	2.627	.105
Error	.222	9	.025		
Total	821.769	18			

* แสดงความแตกต่างอย่างมีนัยสำคัญทางสถิติ ($p \leq 0.05$)

ตารางที่ ข3 ผลการวิเคราะห์ความแตกต่างของความชื้นของข้าวกล้องงอก ที่อุณหภูมิอบแห้ง 40, 50 และ 60°ซ

temp.	N	Subset		
		1	2	3
60	6	4.65133		
50	6		6.51933	
40	6			8.51650
Sig.		1.000	1.000	1.000

ตารางที่ ข4 ผลการวิเคราะห์ความแตกต่างของความชื้นของข้าวกล้องงอก ที่เวลาอบแห้ง 10, 12 และ 14 ชั่วโมง

time	N	Subset	
		1	2
14	6	6.32433	
12	6	6.42750	
10	6		6.93533
Sig.		.284	1.000

ตารางที่ ข5 ผลการวิเคราะห์ความแปรปรวนของสารออกฤทธิ์ทางชีวภาพของข้าวกล้องงอกที่ผ่านการอบแห้งแบบดูดอุณหภูมิ 40, 50 และ 60°ซ เป็นเวลา 10, 12 และ 14 ชั่วโมง

Source	Dependent Variable	Type III Sum of Squares	df	Mean Square	F	Sig.
temp	gaba	111.786	2	55.893	23.212	.000*
	deltatocopherol	1.035	2	.517	.633	.549
	gammatocopherol	998.950	2	499.475	10.461	.003*
	alphatocopherol	3187.932	2	1593.966	.136	.874
	gammaoryzonol	1030698.218	2	515349.109	.105	.901
	DPPH	1635.237	2	817.618	2.415	.135
	ABTS	1792.030	2	896.015	.275	.765
time	gaba	3.058	3	1.019	.423	.740
	deltatocopherol	3.036	3	1.012	1.239	.342
	gammatocopherol	428.361	3	142.787	2.990	.077
	alphatocopherol	620.774	3	206.925	.018	.997

ตารางที่ ข5 ผลการวิเคราะห์ความแปรปรวนของสารออกฤทธิ์ทางชีวภาพของข้าวกล้องงอกที่ผ่านการอบแห้งแบบตามอุณหภูมิ 40, 50 และ 60°ซ. เป็นเวลา 10, 12 และ 14 ชั่วโมง (ต่อ)

Source	Dependent Variable	Type III Sum of Squares	df	Mean Square	F	Sig.
time	gammaoryzonol	5153698.909	3	1717899.636	.351	.789
	DPPH	687.439	3	229.146	.677	.584
	ABTS	3957.881	3	1319.294	.404	.753
temp * time	gaba	23.996	4	5.999	2.491	.104
	deltatocopherol	3.251	4	.813	.995	.450
	gammatocopherol	486.398	4	121.599	2.547	.099
	alphatocopherol	10066.757	4	2516.689	.214	.925
	gammaoryzonol	2.044E7	4	5110289.579	1.044	.428
	DPPH	3802.551	4	950.638	2.808	.079
	ABTS	8822.155	4	2205.539	.676	.623

* แสดงความแตกต่างอย่างมีนัยสำคัญทางสถิติ ($p \leq 0.05$)

ตารางที่ ข6 ผลการวิเคราะห์ความแตกต่างของปริมาณ GABA ของข้าวกล้องงอก ที่อุณหภูมิอบแห้ง 40, 50 และ 60°ซ.

temp.	N	Subset		
		1	2	3
60	6	8.3965		
50	6		11.4212	
40	6			14.5007
Sig.		1.000	1.000	1.000

ตารางที่ ข7 ผลการวิเคราะห์ความแตกต่างของปริมาณ γ -tocopherol ของข้าวกล้องงอก ที่อุณหภูมิอบแห้ง 40, 50 และ 60°C

temp.	N	Subset	
		1	2
50	6	9.88916E1	
60	6	1.04201E2	
40	6		1.16666E2
Sig.		.218	1.000

ตารางที่ ข8 ผลการวิเคราะห์ความแปรปรวนของร้อยละต้นข้าวและค่าความขาวของข้าวกล้องงอกที่ผ่านการอบแห้งแบบดาดอุณหภูมิ 40, 50 และ 60°C เป็นเวลา 10, 12 และ 14 ชั่วโมง

Source	Dependent Variable	Type III Sum of Squares	df	Mean Square	F	Sig.
temp	ร้อยละต้นข้าว	1045.429	2	522.714	102.924	.000*
	ค่าความขาว	2.767	2	1.383	9.033	.007*
time	ร้อยละต้นข้าว	8.328	2	4.164	.820	.471
	ค่าความขาว	1.774	2	.887	5.790	.024*
temp * time	ร้อยละต้นข้าว	10.060	4	2.515	.495	.740
	ค่าความขาว	1.585	4	.396	2.587	.109

* แสดงความแตกต่างอ้างอิงมีนัยสำคัญทางสถิติ ($p \leq 0.05$)

ตารางที่ ข9 ผลการวิเคราะห์ความแตกต่างของร้อยละต้นข้าวของข้าวกล้องงอก ที่อุณหภูมิอบแห้ง 40, 50 และ 60°C

temp.	N	Subset		
		1	2	3
50	6	5.3711580E1		
60	6		6.7503130E1	
40	6			7.1502402E1
Sig.		1.000	1.000	1.000

ตารางที่ ข10 ผลการวิเคราะห์ความแตกต่างของค่าความขาวของข้าวกล้องงอก ที่อุณหภูมิอบแห้ง 40, 50 และ 60°ซ

temp.	N	Subset	
		1	2
40	6	5.8904939E1	
50	6		5.9699172E1
60	6		5.9769634E1
Sig.		1.000	.762

ตารางที่ ข11 ผลการวิเคราะห์ความแตกต่างของค่าความขาวของข้าวกล้องงอก ที่เวลาอบแห้ง 10, 12 และ 14 ชั่วโมง

time	N	Subset	
		1	2
10	6	5.9107397E1	
14	6	5.9397283E1	5.9397283E1
12	6		5.9869065E1
Sig.		.232	.066

ตารางที่ ข12 ผลการวิเคราะห์ความแปรปรวนของกิจกรรมสารต้านออกซิเดชันวัดด้วยวิธี ABTS ร้อยละตื้นข้าว และ ความชื้นสุดท้ายของข้าวกล้องงอก ที่ผ่านการอบแห้งแบบถารร่วมกับการเก็บในที่อับอากาศ ที่สภาพะต่างๆ

Source	Dependent Variable	Type III Sum of Squares	df	Mean Square	F	Sig.
temp	gaba	111.786	2	55.893	23.212	.000*
	deltatocopherol	1.035	2	.517	.633	.549
	gammatocopherol	998.950	2	499.475	10.461	.003*
	alphatocopherol	3187.932	2	1593.966	.136	.874
	gammaoryzonol	1030698.218	2	515349.109	.105	.901
	DPPH	1635.237	2	817.618	2.415	.135
	ABTS	1792.030	2	896.015	.275	.765
time	gaba	3.058	3	1.019	.423	.740

ตารางที่ ข12 ผลการวิเคราะห์ความแปรปรวนของกิจกรรมสารต้านออกซิเดชั่นวัดด้วยวิธี ABTS ร้อยละต้นข้าว และ ความชื้นสูดท้ายของข้าวกล้องงอก ที่ผ่านการอบแห้งแบบดาดร่วงกับการเก็บในที่อันอากาศที่สภาวะต่างๆ (ต่อ)

Source	Dependent Variable	Type III Sum of Squares	df	Mean Square	F	Sig.
time	deltatocopherol	3.036	3	1.012	1.239	.342
	gammatocopherol	428.361	3	142.787	2.990	.077
	alphatocopherol	620.774	3	206.925	.018	.997
	gammaoryzonol	5153698.909	3	1717899.636	.351	.789
	DPPH	687.439	3	229.146	.677	.584
	ABTS	3957.881	3	1319.294	.404	.753
temp * time	gaba	23.996	4	5.999	2.491	.104
	deltatocopherol	3.251	4	.813	.995	.450
	gammatocopherol	486.398	4	121.599	2.547	.099
	alphatocopherol	10066.757	4	2516.689	.214	.925
	gammaoryzonol	2.044E7	4	5110289.579	1.044	.428
	DPPH	3802.551	4	950.638	2.808	.079
	ABTS	8822.155	4	2205.539	.676	.623

* แสดงความแตกต่างอย่างมีนัยสำคัญทางสถิติ ($p \leq 0.05$)



ตารางที่ ข13 ผลการวิเคราะห์ความแตกต่างของกิจกรรมสารต้านออกซิเดชั่นที่รักด้วยวิธี ABTS ของข้าวกล้อง
งอก ที่อบแห้งแบบดาคร่วมกับการเก็บในที่อันอากาศ

treatment	N	Subset						
		1	2	3	4	5	6	7
mc=14 T=40 t=0	2	3.2506E2						
mc=14 T=40 t=90	2		3.6393E2					
mc=14 T=40 t=120	2		3.6499E2					
mc=16 T=40 t=30	2		3.6622E2					
mc=16 T=40 t=0	2		3.6682E2	3.6682E2				
mc=14 T=40 t=60	2		3.6710E2	3.6710E2				
mc=16 T=40 t=90	2		3.6784E2	3.6784E2				
mc=16 T=40 t=60	2		3.6887E2	3.6887E2				
mc=16 T=50 t=90	2		3.7381E2	3.7381E2	3.7381E2			
mc=16 T=40 t=120	2		3.7494E2	3.7494E2	3.7494E2			
mc=14 T=50 t=30	2		3.7512E2	3.7512E2	3.7512E2			
mc=16 T=50 t=30	2		3.8030E2	3.8030E2	3.8030E2	3.8030E2		
mc=18 T=50 t=120	2		3.8052E2	3.8052E2	3.8052E2	3.8052E2		
mc=16 T=50 t=0	2		3.8151E2	3.8151E2	3.8151E2	3.8151E2	3.8151E2	
mc=14 T=50 t=0	2		3.8199E2	3.8199E2	3.8199E2	3.8199E2	3.8199E2	
mc=16 T=50 t=60	2		3.8202E2	3.8202E2	3.8202E2	3.8202E2	3.8202E2	
mc=18 T=40 t=0	2		3.8310E2	3.8310E2	3.8310E2	3.8310E2	3.8310E2	
mc=18 T=40 t=120	2		3.8314E2	3.8314E2	3.8314E2	3.8314E2	3.8314E2	
mc=14 T=50 t=120	2		3.8712E2	3.8712E2	3.8712E2	3.8712E2	3.8712E2	3.8712E2
mc=14 T=40 t=30	2		3.8740E2	3.8740E2	3.8740E2	3.8740E2	3.8740E2	3.8740E2
mc=18 T=40 t=30	2		3.8769E2	3.8769E2	3.8769E2	3.8769E2	3.8769E2	3.8769E2
mc=18 T=50 t=90	2		3.9099E2	3.9099E2	3.9099E2	3.9099E2	3.9099E2	3.9099E2
mc=18 T=40 t=90	2			3.9393E2	3.9393E2	3.9393E2	3.9393E2	3.9393E2
mc=14 T=50 t=90	2				3.9687E2	3.9687E2	3.9687E2	3.9687E2
mc=18 T=50 t=0	2					4.0561E2	4.0561E2	4.0561E2

ตารางที่ ข13 ผลการวิเคราะห์ความแตกต่างของกิจกรรมสารต้านออกซิเดชั่นที่วัดด้วยวิธี ABTS ของข้าวกล้อง
งอก ที่อุบแห้งแบบคาดร่วมกับการเก็บในที่อันอากาศ (ต่อ)

treatment	N	Subset						
		1	2	3	4	5	6	7
mc=18 T=40 t=60	2						4.0802E2	4.0802E2
mc=18 T=50 t=30	2						4.0807E2	4.0807E2
mc=14 T=50 t=60	2							4.1173E2
mc=18 T=50 t=60	2							4.1250E2
Sig.		1.000	.055	.054	.097	.069	.057	.065

ตารางที่ บ4 ผลการวิเคราะห์ความแตกต่างของร้อยละต้นเข้ามาของตัวแปรที่อยู่ในแบบจำลองที่ตอบแทนแบบตัวจริงกับการศึกษาในที่อ้อมหาศ

treatment	N	Subset									
		1	2	3	4	5	6	7	8	9	10
mc=16 T=50 t=0	2	66.4880									
mc=16 T=40 t=0	2	67.0394	67.0394								
mc=16 T=40 t=120	2	68.4387	68.4387	68.4387							
mc=14 T=40 t=0	2	69.0189	69.0189	69.0189							
mc=16 T=40 t=90	2	69.9538	69.9538	69.9538	69.9538						
mc=16 T=40 t=30	2	72.0742	72.0742	72.0742	72.0742	72.0742					
mc=16 T=50 t=30	2		72.8876	72.8876	72.8876	72.8876	72.8876				
mc=16 T=40 t=60	2			74.5062	74.5062	74.5062	74.5062	74.5062			
mc=16 T=50 t=60	2				75.4090	75.4090	75.4090	75.4090	75.4090		
mc=14 T=40 t=30	2				75.5897	75.5897	75.5897	75.5897	75.5897		
mc=14 T=50 t=0	2					76.3250	76.3250	76.3250	76.3250		
mc=14 T=40 t=60	2					77.0605	77.0605	77.0605	77.0605		
mc=18 T=50 t=30	2						77.1180	77.1180	77.1180	77.1180	
mc=14 T=40 t=120	2						77.2047	77.2047	77.2047	77.2047	
mc=16 T=50 t=90	2						77.7364	77.7364	77.7364	77.7364	77.7364

ตารางที่ ๑๔ ผลการวิเคราะห์ค่าความแปรต่างของร้อยละต้นทุนจากการเก็บเงินทั้งหมดของคนที่มีอาชญากรรม (ต่อ)

treatment	N	Subset									
		1	2	3	4	5	6	7	8	9	10
mc=18 T=50 t=60	2					79.5696	79.5696	79.5696	79.5696	79.5696	79.5696
mc=14 T=40 t=90	2					81.4888	81.4888	81.4888	81.4888	81.4888	81.4888
mc=14 T=50 t=60	2					81.5866	81.5866	81.5866	81.5866	81.5866	81.5866
mc=18 T=40 t=120	2					82.7837	82.7837	82.7837	82.7837	82.7837	82.7837
mc=14 T=50 t=30	2					82.9048	82.9048	82.9048	82.9048	82.9048	82.9048
mc=14 T=50 t=120	2					83.0632	83.0632	83.0632	83.0632	83.0632	83.0632
mc=14 T=50 t=90	2						83.6413	83.6413	83.6413	83.6413	83.6413
mc=18 T=40 t=60	2							84.2552	84.2552	84.2552	84.2552
mc=18 T=40 t=90	2							84.3921	84.3921	84.3921	84.3921
mc=18 T=50 t=120	2							84.6120	84.6120	84.6120	84.6120
mc=16 T=50 t=120	2							85.0780	85.0780	85.0780	85.0780
mc=18 T=40 t=0	2								85.1174	85.1174	85.1174
mc=18 T=50 t=90	2									86.1467	86.1467
mc=18 T=40 t=30	2										86.5251
Sig.		.071	.059	.050	.069	.077	.067	.113	.056	.063	.064
										.051	.119

ตารางที่ ၁၅ ผลการวิเคราะห์ความแตกต่างของรากที่เข้มแข็งต่อกันของตัวแปรต่างๆ ที่อยู่ในแบบนี้ ตามกับการเรียบในพื้นที่อ้อมอกราก

treatment	N	Subset												
		1	2	3	4	5	6	7	8	9	10	11	12	13
mc=14 T=40 t=120	2	5.0348												
mc=14 T=40 t=0	2	5.1384												
mc=16 T=50 t=120	2	5.6648	5.6648											
mc=14 T=40 t=60	2	5.6901	5.6901											
mc=14 T=40 t=90	2		5.8541	5.8541										
mc=16 T=50 t=30	2		5.9410	5.9410										
mc=14 T=40 t=30	2		6.1484	6.1484	6.1484									
mc=16 T=40 t=0	2			6.3769	6.3769	6.3769								
mc=18 T=50 t=120	2				6.5120	6.5120	6.5120	6.5120						
mc=16 T=40 t=120	2					6.6588	6.6588	6.6588	6.6588					
mc=16 T=50 t=60	2						6.8231	6.8231	6.8231	6.8231	6.8231			
mc=16 T=40 t=30	2							6.8754	6.8754	6.8754	6.8754	6.8754		
mc=16 T=40 t=90	2								6.9218	6.9218	6.9218	6.9218		
mc=16 T=50 t=90	2									7.0622	7.0622	7.0622	7.0622	
mc=16 T=40 t=60	2										7.1573	7.1573	7.1573	7.1573

ผลการวิเคราะห์ความแตกต่างของความรู้ที่เบ่งชัดที่สุดของนักเรียนที่มีความสามารถทางภาษาไทยระดับปานกลางที่สูงกว่าระดับปานกลางที่ต่ำกว่าระดับปานกลางที่ต่ำที่สุดทั้งในด้านภาษาและภาษาอังกฤษ

ตารางที่ ข16 ผลการวิเคราะห์ความแปรปรวนของปริมาณ GABA ของข้าวกล้องอกที่อบแห้งแบบดาคร่วมกับการเก็บในที่อันอากาศ

Source	Type III Sum of Squares	df	Mean Square	F	Sig.
MC	142.684	2	71.342	75.379	.000*
tempertemp	1.176	1	1.176	1.242	.274
tempettime	4.345	4	1.086	1.148	.353
MC * tempertemp	19.945	2	9.972	10.537	.000*
MC * tempettime	5.430	8	.679	.717	.675
tempertemp * tempettime	12.527	4	3.132	3.309	.023*
MC * tempertemp * tempettime	8.350	8	1.044	1.103	.389

* แสดงความแตกต่างอย่างมีนัยสำคัญทางสถิติ ($p \leq 0.05$)

ตารางที่ ข17 ผลการวิเคราะห์ความแปรปรวนของปริมาณ GABA ของข้าวกล้องอกที่อบแห้งแบบดาคร่วมกับการเก็บในที่อันอากาศ ที่ความชื้นเริ่มต้นและอุณหภูมิเก็บในที่อันอากาศต่างๆ

Source	Type III Sum of Squares	df	Mean Square	F	Sig.
tempertemp	1.176	1	1.176	1.075	.304
MC	142.684	2	71.342	65.245	.000*
tempertemp * MC	19.945	2	9.972	9.120	.000*
Error	59.046	54	1.093		
Total	4716.810	60			

* แสดงความแตกต่างอย่างมีนัยสำคัญทางสถิติ ($p \leq 0.05$)

ตารางที่ ข18 ผลการวิเคราะห์ความแตกต่างของปริมาณ GABA ของข้าวกล้องอกที่อบแห้งแบบถากร่วมกับการเก็บในที่อันอากาศ โดยมีความชื้นเริ่มต้นร้อยละ 14, 16 และ 18 เก็บในที่อันอากาศอุณหภูมิ 40 และ 50°ซ

treatment	N	Subset				
		1	2	3	4	5
14% 50C	10	5.8839443E0				
14% 40C	10		7.3477258E0			
18% 40C	10			8.3611623E0		
18% 50C	10				9.6444119E0	
16% 50C	10				1.0015039E1	1.0015039E1
16% 40C	10					1.0674353E1
Sig.		1.000	1.000	1.000	.432	.164

ตารางที่ ข19 ผลการวิเคราะห์ความแปรปรวนของปริมาณ GABA ของข้าวกล้องอกที่อบแห้งแบบถากร่วมกับการเก็บในที่อันอากาศ ที่อุณหภูมิและระยะเวลาเก็บในที่อันอากาศต่างๆ

Source	Type III Sum of Squares	df	Mean Square	F	Sig.
tempertemp	1.176	1	1.176	.287	.595
tempetttime	4.345	4	1.086	.265	.899
tempertemp * tempetttime	12.527	4	3.132	.765	.553
Error	204.803	50	4.096		
Total	4716.810	60			

ตารางที่ ข20 ผลการวิเคราะห์ความแปรปรวนของปริมาณ δ -tocopherol ของข้าวกล้องงอกที่อบแห้งแบบดาด
ร่วมกับการเก็บในที่อันอากาศ

Source	Type III Sum of Squares	df	Mean Square	F	Sig.
MC	3.863	2	1.932	17.824	.000*
tempertemp	.878	1	.878	8.103	.008*
tempettime	.564	4	.141	1.301	.292
MC * tempertemp	1.265	2	.632	5.836	.007*
MC * tempettime	1.935	8	.242	2.231	.053
tempertemp * tempettime	1.110	4	.277	2.560	.059
MC * tempertemp * tempettime	1.700	8	.212	1.961	.087

* แสดงความแตกต่างอย่างมีนัยสำคัญทางสถิติ ($p \leq 0.05$)

ตารางที่ ข21 ผลการวิเคราะห์ความแตกต่างของปริมาณ δ -tocopherol ของข้าวกล้องงอกที่อบแห้งแบบดาด
ร่วมกับการเก็บในที่อันอากาศ โดยมีความชื้นเริ่มต้นร้อยละ 14, 16 และ 18 เก็บในที่อันอากาศ
อุณหภูมิ 40 และ 50 °C

treatment	N	Subset			
		1	2	3	4
18% 40C	10	3.0079788			
14% 40C	10	3.2398525	3.2398525		
14% 50C	10		3.5341701	3.5341701	
18% 50C	10		3.5765097	3.5765097	3.5765097
16% 50C	10			3.8031371	3.8031371
16% 40C	10				3.9401212
Sig.		.198	.079	.160	.058

ตารางที่ ข22 ผลการวิเคราะห์ความแปรปรวนของปริมาณ γ -tocopherol ของข้าวกล้องอกที่อบแห้งแบบคลาด ร่วมกับการเก็บในที่อันอากาศ

Source	Type III Sum of Squares	df	Mean Square	F	Sig.
MC	748.838	2	374.419	7.153	.003*
tempertemp	1475.087	1	1475.087	28.181	.000*
tempettime	489.646	4	122.411	2.339	.078
MC * tempertemp	1611.851	2	805.926	15.397	.000*
MC * tempettime	280.746	8	35.093	.670	.713
tempertemp * tempettime	288.114	4	72.029	1.376	.266
MC * tempertemp * tempettime	471.294	8	58.912	1.125	.375

* แสดงความแตกต่างอย่างมีนัยสำคัญทางสถิติ ($p \leq 0.05$)

ตารางที่ ข23 ผลการวิเคราะห์ความแตกต่างของปริมาณ γ -tocopherol ของข้าวกล้องอกที่อบแห้งแบบคลาด ร่วมกับการเก็บในที่อันอากาศ โดยมีความชื้นเริ่มต้นร้อยละ 14, 16 และ 18 เก็บในที่อันอากาศ อุณหภูมิ 40 และ 50°C

treatment	N	Subset			
		1	2	3	4
18% 40C	10	8.0529574E1			
16% 40C	10		8.9024871E1		
14% 50C	10			9.3394874E1	
18% 50C	10				9.8058307E1
14% 40C	10				9.8134523E1
16% 50C	10				1.0598562E2
Sig.		1.000	.203	.193	1.000

ตารางที่ ข24 ผลการวิเคราะห์ความแปรปรวนของปริมาณ α -tocopherol ของข้าวกล้องงอกที่อบแห้งแบบดาด
ร่วมกับการเก็บในที่อันอากาศ

Source	Type III Sum of Squares	df	Mean Square	F	Sig.
MC	124442.506	2	62221.253	38.898	.000*
tempertemp	64534.715	1	64534.715	40.344	.000*
tempettime	18510.078	4	4627.520	2.893	.039*
MC * tempertemp	26188.517	2	13094.258	8.186	.001*
MC * tempettime	19676.243	8	2459.530	1.538	.186
tempertemp * tempettime	9314.645	4	2328.661	1.456	.240
MC * tempertemp * tempettime	16777.476	8	2097.185	1.311	.276

* แสดงความแตกต่างอย่างมีนัยสำคัญทางสถิติ ($p \leq 0.05$)

ตารางที่ ข25 ผลการวิเคราะห์ความแตกต่างของปริมาณ α -tocopherol ของข้าวกล้องงอกที่อบแห้งแบบดาด
ร่วมกับการเก็บในที่อันอากาศ โดยมีความชื้นเริ่มต้นร้อยละ 14, 16 และ 18 เก็บในที่อันอากาศ
อุณหภูมิ 40 และ 50°ช

treatment	N	Subset		
		1	2	3
16% 40C	10	2.8642269E2		
18% 40C	10		3.8563353E2	
16% 50C	10		3.9838692E2	
14% 40C	10			4.4427529E2
14% 50C	10			4.5496267E2
18% 50C	10			4.5975800E2
Sig.		1.000	.534	.480

ตารางที่ ข26 ผลการวิเคราะห์ความแปรปรวนของปริมาณ γ -oryzanol ของข้าวกล้องออกที่อบแห้งแบบถากร่วมกับการเก็บในที่อับอากาศ

Source	Type III Sum of Squares	df	Mean Square	F	Sig.
MC	2303222.617	2	1151611.309	.418	.662
tempertemp	1.207E7	1	1.207E7	4.385	.045*
tempettime	5586959.483	4	1396739.871	.507	.731
MC * tempertemp	7116602.735	2	3558301.368	1.293	.289
MC * tempettime	2.735E7	8	3418547.856	1.242	.310
tempertemp * tempettime	2.347E7	4	5868378.733	2.132	.101
MC * tempertemp * tempettime	2.477E7	8	3096148.249	1.125	.375

* แสดงความแตกต่างอย่างมีนัยสำคัญทางสถิติ ($p \leq 0.05$)

ตารางที่ ข27 ผลการวิเคราะห์ความแปรปรวนของปริมาณกิจกรรมสารต้านออกซิเดชันวิเคราะห์ด้วยวิธี DPPH ของข้าวกล้องออกที่อบแห้งแบบถากร่วมกับการเก็บในที่อับอากาศ

Source	Type III Sum of Squares	df	Mean Square	F	Sig.
MC	3120.459	2	1560.229	11.317	.000*
tempertemp	1559.232	1	1559.232	11.309	.002*
tempettime	44.837	4	11.209	.081	.988
MC * tempertemp	4183.675	2	2091.837	15.173	.000*
MC * tempettime	1581.324	8	197.665	1.434	.223
tempertemp * tempettime	498.090	4	124.522	.903	.475
MC * tempertemp * tempettime	2151.700	8	268.962	1.951	.089

* แสดงความแตกต่างอย่างมีนัยสำคัญทางสถิติ ($p \leq 0.05$)

ตารางที่ ข28 ผลการวิเคราะห์ความแตกต่างของปริมาณกิจกรรมสารต้านออกซิเดชั่นวิเคราะห์ด้วยวิธี DPPH
ของข้าวกล้องงอกที่อบแห้งแบบดาตร่วมกับการเก็บในที่อับอากาศ โดยมีความชื้นเริ่มนั้นร้อยละ
14, 16 และ 18 เก็บในที่อับอากาศอุณหภูมิ 40 และ 50°ช

treatment	N	Subset			
		1	2	3	4
16% 50C	10	3.3658702E2			
14% 40C	10	3.3953673E2			
16% 40C	10	3.4619189E2	3.4619189E2		
18% 40C	10		3.5338406E2	3.5338406E2	
18% 50C	10			3.6232964E2	3.6232964E2
14% 50C	10				3.7078260E2
Sig.		.109	.203	.115	.136

ตารางที่ ข29 ผลการวิเคราะห์ความแปรปรวนของค่าความขาวของข้าวกล้องงอกที่อบแห้งแบบดาตร่วมกับการ
เก็บในที่อับอากาศ

Source	Type III Sum of Squares	df	Mean Square	F	Sig.
MC	26.503	2	13.251	51.356	.000*
tempertemp	6.155	1	6.155	23.853	.000*
tempetime	2.115	4	.529	2.050	.113
MC * tempertemp	20.378	2	10.189	39.488	.000*
MC * tempetime	6.551	8	.819	3.174	.010*
tempertemp * tempetime	2.811	4	.703	2.723	.048*
MC * tempertemp * tempetime	3.323	8	.415	1.610	.164

* แสดงความแตกต่างอย่างมีนัยสำคัญทางสถิติ ($p \leq 0.05$)



ตารางที่ ข30 ผลการวิเคราะห์ความแปรปรวนของค่าความขาวของข้าวกล้องงอกที่อบแห้งแบบถอดร่วมกับการเก็บในที่อับอากาศ โดยมีความชื้นเริ่มน้ำตันร้อยละ 14, 16 และ 18 เก็บในที่อับอากาศอุณหภูมิ 40 และ 50°ซ.

Source	Type III Sum of Squares	df	Mean Square	F	Sig.
MC	26.503	2	13.251	31.745	.000*
tempertemp	6.155	1	6.155	14.745	.000*
MC * tempertemp	20.378	2	10.189	24.409	.000*

* แสดงความแตกต่างอย่างมีนัยสำคัญทางสถิติ ($p \leq 0.05$)

ตารางที่ ข31 ผลการวิเคราะห์ความแตกต่างของค่าความขาวของข้าวกล้องงอกที่อบแห้งแบบถอดร่วมกับการเก็บในที่อับอากาศ โดยมีความชื้นเริ่มน้ำตันร้อยละ 14, 16 และ 18 เก็บในที่อับอากาศอุณหภูมิ 40 และ 50°ซ.

treatment	N	Subset			
		1	2	3	4
18% 40C	10	5.5590422E1			
16% 50C	10		5.7518278E1		
16% 40C	10		5.7745905E1	5.7745905E1	
18% 50C	10		5.7878534E1	5.7878534E1	5.7878534E1
14% 50C	10			5.8290078E1	5.8290078E1
14% 40C	10				5.8428877E1
Sig.		1.000	.246	.080	.076

ตารางที่ ข32 ผลการวิเคราะห์ความแปรปรวนของค่าความขาวของข้าวกล้องงอกที่อบแห้งแบบดาดร่วมกับการเก็บในที่อันอากาศ โดยมีความชื้นเริ่มนั้นร้อยละ 14, 16 และ 18 เก็บในที่อันอากาศนาน 0, 30, 60, 90 และ 120 นาที

Source	Type III Sum of Squares	df	Mean Square	F	Sig.
MC	26.503	2	13.251	14.758	.000*
tempettime	2.115	4	.529	.589	.672
MC * tempettime	6.551	8	.819	.912	.515

* แสดงความแตกต่างอย่างมีนัยสำคัญทางสถิติ ($p \leq 0.05$)

ตารางที่ ข33 ผลการวิเคราะห์ความแตกต่างของค่าความขาวของข้าวกล้องงอกที่อบแห้งแบบดาดร่วมกับการเก็บในที่อันอากาศ โดยมีความชื้นเริ่มนั้นร้อยละ 14, 16 และ 18

%MC	N	Subset		
		1	2	3
18	20	5.673448E1		
16	20		5.763209E1	
14	20			5.835948E1
Sig.		1.000	1.000	1.000

ตารางที่ ข34 ผลการวิเคราะห์ความแปรปรวนของค่าความขาวของข้าวกล้องงอกที่อบแห้งแบบดาดร่วมกับการเก็บในที่อันอากาศ โดยเก็บในที่อันอากาศอุณหภูมิ 40 และ 50° ช นาน 0, 30, 60, 90 และ 120 นาที

Source	Type III Sum of Squares	df	Mean Square	F	Sig.
tempettime	2.115	4	.529	.410	.801
tempertemp	6.155	1	6.155	4.771	.034*
tempettime * tempertemp	2.811	4	.703	.545	.704

* แสดงความแตกต่างอย่างมีนัยสำคัญทางสถิติ ($p \leq 0.05$)

ตารางที่ ข35 ผลการวิเคราะห์ความแปรปรวนของสภาวะข้าวกล้องงอกที่อ่อนแห้งแบบดำเนินการร่วมกับการเก็บในที่อับอากาศที่คัดเลือกทั้ง 5 สภาวะ

Source	Dependent Variable	Type III Sum of Squares	df	Mean Square	F	Sig.
treatment	gaba	2.308	4	.577	.738	.604
	deltatoco	1.605	4	.401	2.533	.168
	gammatoco	919.240	4	229.810	2.369	.185
	alphatoco	75076.176	4	18769.044	7.871	.022*
	gammaory	2.000E7	4	4999694.043	1.053	.465
	DDPH	1475.160	4	368.790	3.110	.122
	ABTS	879.847	4	219.962	2.870	.139
	ร้อยละต้นข้าว	540.079	4	135.020	19.059	.003*
	ค่าความขาว	1.546	4	.387	.689	.630

* แสดงความแตกต่างอย่างมีนัยสำคัญทางสถิติ ($p \leq 0.05$)

ตารางที่ ข36 ผลการวิเคราะห์ความแตกต่างของ α -tocopherol ของข้าวกล้องงอกที่อ่อนแห้งแบบดำเนินการเก็บในที่อับอากาศที่คัดเลือกทั้ง 5 สภาวะ

treatment	N	Subset	
		1	2
mc=16 T=40 t=30	2	2.3237E2	
mc=16 T=40 t=0	2	2.6796E2	
mc=16 T=50 t=0	2		4.0716E2
mc=16 T=50 t=90	2		4.1564E2
mc=18 T=50 t=90	2		4.4736E2
Sig.		.499	.458

ตารางที่ ข37 ผลการวิเคราะห์ความแตกต่างของร้อยละต้นข้าวของข้าวกล้องออกที่อบแห้งแบบ\data ค่าร่วมกับการเก็บในที่อันอากาศที่คัดเลือกทั้ง 5 สภาวะ

treatment	N	Subset		
		1	2	3
mc=16 T=50 t=0	2	66.4880		
mc=16 T=40 t=0	2	67.0394		
mc=16 T=40 t=30	2	72.0742	72.0742	
mc=16 T=50 t=90	2		77.7364	
mc=18 T=50 t=90	2			86.1467
Sig.		.097	.087	1.000

ตารางที่ ข38 ผลการวิเคราะห์ความแปรปรวนของข้าวกล้องออกอบแห้งแบบ\data แบบ\data ค่าร่วมกับการเก็บในที่ อันอากาศ ข้าวกล้องและตัวอย่างควบคุม

Source	Dependent Variable	Type III Sum of Squares	df	Mean Square	F	Sig.
treatment	ร้อยละต้นข้าว	1237.407	3	412.469	336.972	.000*
	GABA	183.157	3	61.052	38.716	.002*
	deltatoco	3.621	3	1.207	3.277	.141
	gammatoco	243.908	3	81.303	.878	.523
	alphatoco	4692.041	3	1564.014	1.114	.442
	oryzanol	2.733E7	3	9109497.004	.809	.551
	DPPH	3018.697	3	1006.232	6.191	.055
	ABTS	7914.544	3	2638.181	4.192	.100

* แสดงความแตกต่างอย่างมีนัยสำคัญทางสถิติ ($p \leq 0.05$)

ตารางที่ ข39 ผลการวิเคราะห์ความแตกต่างของร้อยละต้นข้าวของข้าวกล้องอกอ่อนแห้งแบบถาก แบบถาก ร่วมกับการเก็บในที่อันอากาศ ข้าวกล้องและตัวอย่างควบคุม

treatment	N	Subset		
		1	2	3
ควบคุม	2	5.55584E1		
กล้องอกอ่อนแห้งแบบถาก	2		7.26482E1	
ข้าวกล้อง	2			8.55332E1
อันอากาศ	2			8.61467E1
Sig.		1.000	1.000	.609

ตารางที่ ข40 ผลการวิเคราะห์ความแตกต่างของ GABA ข้าวของข้าวกล้องอกอ่อนแห้งแบบถาก แบบถาก ร่วมกับการเก็บในที่อันอากาศ ข้าวกล้องและตัวอย่างควบคุม

treatment	N	Subset	
		1	2
ข้าวกล้อง	2	.52586	
อันอากาศ	2		1.10642E1
ควบคุม	2		1.13954E1
กล้องอกอ่อนแห้งแบบถาก	2		1.21548E1
Sig.		1.000	.439

ตารางที่ ข41 ผลการวิเคราะห์ความแปรปรวนค่าคุณสมบัติทางค้านการ朽ุ่งสูกของข้าวกล้องอกอ่อนแห้งแบบถาก แบบถาก ร่วมกับการเก็บในที่อันอากาศ ข้าวกล้อง และข้าวกล้องอกควบคุม

Source	Dependent Variable	Type III Sum of Squares	df	Mean Square	F	Sig.
ตัวอย่าง ข้าว	เวลา朽ุ่งสูก	40.344	3	13.448	10.496	.023*
	อัตราส่วนการอื้มน้ำ	.079	3	.026	26.513	.004*
	อัตราการขยายปริมาตร	.101	3	.034	286.798	.000*
	ปริมาณของเจ็งที่สูญเสีย	.005	3	.002	58.031	.001*
	การยึดตัวของเม็ดคั่ว	.000	3	.000	655.664	.000*

* แสดงความแตกต่างอย่างมีนัยสำคัญทางสถิติ ($p \leq 0.05$)

ตารางที่ ข42 ผลการวิเคราะห์ความแตกต่างของระยะเวลาสูกของข้าวกล้องของกอบแห้งแบบถาก แบบถาง ร่วมกับการเก็บในที่อันอากาศ ข้าวกล้อง และข้าวกล้องของกอบควบคุม

ตัวอย่างข้าว	N	Subset		
		1	2	3
กล้องของกอบแห้งแบบถากร่วมกับอันอากาศ	2	39.75		
ควบคุม	2	42.00	42.00	
กล้องของกอบแห้งแบบถาก	2		43.00	43.00
กล้อง	2			46.00
Sig.		.118	.427	.057

ตารางที่ ข43 ผลการวิเคราะห์ความแตกต่างของอัตราส่วนการอุ้มน้ำของข้าวกล้องของกอบแห้งแบบถาก แบบถาง ดาคร่วมกับการเก็บในที่อันอากาศ ข้าวกล้อง และข้าวกล้องของกอบควบคุม

ตัวอย่างข้าว	N	Subset		
		1	2	3
กล้อง	2	1.40838		
ควบคุม	2		1.52193	
กล้องของกอบแห้งแบบถาก	2		1.59014	
กล้องของกอบแห้งแบบถากร่วมกับอันอากาศ	2			1.68049
Sig.		1.000	.096	1.000

ตารางที่ ข44 ผลการวิเคราะห์ความแตกต่างของอัตราการขยายปริมาตรของข้าวกล้องของกอบแห้งแบบถาก แบบถาง ดาคร่วมกับการเก็บในที่อันอากาศ ข้าวกล้อง และข้าวกล้องของกอบควบคุม

ตัวอย่างข้าว	N	Subset		
		1	2	3
กล้อง	2	1.72400		
ควบคุม	2		1.87800	
กล้องของกอบแห้งแบบถาก	2		1.89100	
กล้องของกอบแห้งแบบถากร่วมกับอันอากาศ	2			2.04100
Sig.		1.000	.296	1.000

ตารางที่ ข45 ผลการวิเคราะห์ความแตกต่างของปริมาณของแข็งที่สูญเสียระหว่างการหุงต้มของข้าวกล้องกับอบแห้งแบบดาด แบบดาดร่วมกับการเก็บในที่อับอากาศ ข้าวกล้อง และข้าวกล้องงอกควบคุม

ตัวอย่างข้าว	N	Subset		
		1	2	3
กล้องกอกอบแห้งแบบดาดร่วมกับอับอากาศ	2	.5810		
กล้องกอกอบแห้งแบบดาด	2		.5960	
ควบคุม	2		.5995	
กล้อง	2			.6470
Sig.		1.000	.545	1.000

ตารางที่ ข46 ผลการวิเคราะห์ความแตกต่างของการยืดตัวของเมล็ดของข้าวกล้องกอกอบแห้งแบบดาด แบบดาด ร่วมกับการเก็บในที่อับอากาศ ข้าวกล้อง และข้าวกล้องงอกควบคุม

ตัวอย่างข้าว	N	Subset			
		1	2	3	4
กล้องกอกอบแห้งแบบดาดร่วมกับอับอากาศ	2	1.091254			
กล้องกอกอบแห้งแบบดาด	2		1.095355		
ควบคุม	2			1.097754	
กล้อง	2				1.108305
Sig.		1.000	1.000	1.000	1.000

ตารางที่ ข47 ผลการวิเคราะห์ความแปรปรวนค่าความแข็งและความเหนียวของข้าวกล้องกอกอบแห้งแบบดาด แบบดาดร่วมกับการเก็บในที่อับอากาศ ข้าวกล้อง และข้าวกล้องงอกควบคุม

Source	Dependent Variable	Type III Sum of Squares	df	Mean Square	F	Sig.
ตัวอย่างข้าว	ความแข็ง	3874916.373	3	1291638.791	2.951	.046*
	ความเหนียว	18336.202	3	6112.067	1.702	.184

* แสดงความแตกต่างอย่างมีนัยสำคัญทางสถิติ ($p \leq 0.05$)

ตารางที่ ข48 ผลการวิเคราะห์ความแตกต่างค่าความเข้มของข้าวกล้องงอกอบแห้งแบบ\data แบบ\data ร่วมกับ การเก็บในที่อับอากาศ ข้าวกล้อง และข้าวกล้องงอกควบคุม

ตัวอย่างข้าว	N	Subset	
		1	2
กล้องงอกอบแห้งแบบ\data ร่วมกับอับอากาศ	10	5.77603E3	
ควบคุม	10	6.09894E3	6.09894E3
กล้องงอกอบแห้งแบบ\data	10	6.35353E3	6.35353E3
กล้อง	10		6.61772E3
Sig.		.072	.105

ตารางที่ ข49 ผลการวิเคราะห์ความแปรปรวนค่าความชื้น สารออกฤทธิ์ทางชีวภาพของข้าวกล้องงอกอบแห้ง แบบ\data แบบ\data ร่วมกับการเก็บในที่อับอากาศ ข้าวกล้อง และข้าวกล้องงอกควบคุมภายหลัง การหุงสุก

Source	Dependent Variable	Type III Sum of Squares	df	Mean Square	F	Sig.
ตัวอย่างข้าว	%MC	1.825	3	.608	45.572	.002*
	gaba	43.317	3	14.439	13.581	.015*
	deltatocopherol	8.087	3	2.696	982.523	.000*
	gammatocopherol	802.230	3	267.410	237.081	.000*
	alphatocopherol	2343.052	3	781.017	76.617	.001*
	gammaoryzonol	5.473	3	1.824	80.517	.000*
	DPPH	790.972	3	263.657	14.622	.013*
	ABTS	2659.142	3	886.381	8.542	.033*

* แสดงความแตกต่างอย่างมีนัยสำคัญทางสถิติ ($p \leq 0.05$)

ตารางที่ ข50 ผลการวิเคราะห์ความแตกต่างค่าความชื้นของข้าวกล้องงอกอ่อนแห้งแบบถอด แบบถอดร่วมกับการเก็บในที่อันอากาศ ข้าวกล้อง และข้าวกล้องงอกควบคุมภายหลังการหุงสุก

ตัวอย่างข้าว	N	Subset		
		1	2	3
ควบคุม	2	2.513776E0		
กล้องงอกอ่อนแห้งแบบถอด	2		3.382206E0	
กล้องงอกอ่อนแห้งแบบถอดร่วมกับอันอากาศ	2		3.463272E0	
กล้อง	2			3.810910E0
Sig.		1.000	.522	1.000

ตารางที่ ข51 ผลการวิเคราะห์ความแตกต่างค่า GABA ของข้าวกล้องงอกอ่อนแห้งแบบถอด แบบถอดร่วมกับการเก็บในที่อันอากาศ ข้าวกล้อง และข้าวกล้องงอกควบคุมภายหลังการหุงสุก

ตัวอย่างข้าว	N	Subset		
		1	2	3
กล้อง	2	2.86305492E0		
แบบถอด	2	5.67732409E0	5.67732409E0	
กล้องงอกอ่อนแห้งแบบถอดร่วมกับอันอากาศ	2		6.59088054E0	6.59088054E0
ควบคุม	2			9.38091951E0
Sig.		.052	.426	.054

ตารางที่ ข52 ผลการวิเคราะห์ความแตกต่างค่า δ -tocopherol ของข้าวกล้องงอกอ่อนแห้งแบบถอด แบบถอดร่วมกับการเก็บในที่อันอากาศ ข้าวกล้อง และข้าวกล้องงอกควบคุมภายหลังการหุงสุก

ตัวอย่างข้าว	N	Subset		
		1	2	3
กล้องงอกอ่อนแห้งแบบถอด	2	4.117678E0		
กล้อง	2		4.956462E0	
กล้องงอกอ่อนแห้งแบบถอดร่วมกับอันอากาศ	2		5.096548E0	
ควบคุม	2			6.878528E0
Sig.		1.000	.056	1.000

ตารางที่ ข53 ผลการวิเคราะห์ความแตกต่างค่า γ -tocopherol ของข้าวกล้องงอกอบแห้งแบบ\data ร่วมกับการเก็บในที่อันอากาศ ข้าวกล้อง และข้าวกล้องงอกควบคุมภายหลังการหุงสุก

ตัวอย่างข้าว	N	Subset		
		1	2	3
กล้องงอกอบแห้งแบบ\data	2	1.113162E2		
กล้องงอกอบแห้งแบบ\data ร่วมกับอันอากาศ	2	1.123516E2		
ควบคุม	2		1.158224E2	
กล้อง	2			1.359661E2
Sig.		.385	1.000	1.000

ตารางที่ ข54 ผลการวิเคราะห์ความแตกต่างค่า α -tocopherol ของข้าวกล้องงอกอบแห้งแบบ\data ร่วมกับการเก็บในที่อันอากาศ ข้าวกล้อง และข้าวกล้องงอกควบคุมภายหลังการหุงสุก

ตัวอย่างข้าว	N	Subset	
		1	2
ควบคุม	2	3.734318E2	
กล้อง	2	3.768850E2	
กล้องงอกอบแห้งแบบ\data ร่วมกับอันอากาศ	2		4.064997E2
กล้องงอกอบแห้งแบบ\data	2		4.117005E2
Sig.		.340	.179

ตารางที่ ข55 ผลการวิเคราะห์ความแตกต่างค่า γ -oryzanol ของข้าวกล้องงอกอบแห้งแบบ\data แบบ\data ร่วมกับ การเก็บในที่อันอากาศ ข้าวกล้อง และข้าวกล้องงอกควบคุมภายหลังการหุงสุก

ตัวอย่างข้าว	N	Subset			
		1	2	3	4
ควบคุม	2	1.823605E1			
กล้อง	2		1.916470E1		
กล้องงอกอบแห้งแบบ\data ร่วมกับอันอากาศ	2			1.994677E1	
กล้องงอกอบแห้งแบบ\data	2				2.041703E1
Sig.		1.000	1.000	1.000	1.000

ตารางที่ ข56 ผลการวิเคราะห์ความแตกต่างค่ากิจกรรมสารต้านออกซิเดชั่นวัดด้วยวิธี DPPH ของข้าวกล้องอกอบแห้งแบบดาด แบบดาดร่วมกับการเก็บในที่อันอากาศ ข้าวกล้อง และข้าวกล้องงอกควบคุมภายหลังการหุงสุก

ตัวอย่างข้าว	N	Subset	
		1	2
กล้อง	2	2.200179E2	
กล้องงอกอบแห้งแบบดาดร่วมกับข้าวกล้อง	2		2.358891E2
ควบคุม	2		2.410327E2
กล้องงอกอบแห้งแบบดาด	2		2.467121E2
Sig.		1.000	.067

ตารางที่ ข57 ผลการวิเคราะห์ความแตกต่างค่ากิจกรรมสารต้านออกซิเดชั่นวัดด้วยวิธี ABTS ของข้าวกล้องอกอบแห้งแบบดาด แบบดาดร่วมกับการเก็บในที่อันอากาศ ข้าวกล้อง และข้าวกล้องงอกควบคุมภายหลังการหุงสุก

ตัวอย่างข้าว	N	Subset		
		1	2	3
กล้อง	2	2.804194E2		
กล้องงอกอบแห้งแบบดาดร่วมกับข้าวกล้อง	2	2.902128E2	2.902128E2	
กล้องงอกอบแห้งแบบดาด	2		3.124480E2	3.124480E2
ควบคุม	2			3.268327E2
Sig.		.391	.094	.231



ประวัติผู้เขียน

นางสาวเทวิกา กีรตินุรัณณะ เกิดเมื่อวันที่ 12 ตุลาคม พ.ศ.2529 สำเร็จการศึกษาระดับปริญญาตรี วิทยาศาสตร์บัณฑิต สาขาวเทคโนโลยีการอาหาร จากคณะเทคโนโลยี มหาวิทยาลัยขอนแก่น เมื่อปีการศึกษา 2552 และเข้าศึกษาในระดับบัณฑิตศึกษา สาขาวเทคโนโลยีการอาหาร คณะเทคโนโลยี มหาวิทยาลัยขอนแก่น เมื่อปีการศึกษา 2552

